

# 人体特异功能移物的若干实验

HUANG

Linshu HUANG 张崇起 刘惠宜 黄育春  
Shuhuang LIN 周炳辉 张汉煜 申先甲 董政武  
Binghui ZHOU Hanyu ZHANG ~~Jianzhen~~ SHEN Zhengwu DONG  
Xianjia ZHANG (北京师范学院)  
张宇 (北京清河中学) Shiyin DING  
YU ZHANG (中医研究院西苑医院)

张学凯 陈方庄 泽祥 (国防科委 507 所)

Kexue ZHANG Fang CHEN Ze Xiang ZHUANG

某些具特异功能的少年儿童能在肢体不接触的条件下,使一些小物体(以后简称“试样”)从一个地方转运到另一个地方。在转运过程中,有时试样“丢失”长达几十分钟,然后才“再现”。似乎有个从“有”到“无”(即“消失”),再从“无”到“有”(即“再现”的过程。所谓“无”,我们认为并不是物质消失了,只不过是常人的感官与通常的探测手段暂时还不能觉察出它的存在。我们暂称物质这种奇异的“消失”状态为“异态”。

为了研究“异态”的特性(包括转化过程),我们设计并进行了若干实验,现将结果综合报告如下。

## 一、追踪电磁波信号的实验

实验的基本方法是:以微型无线电发射机作为试样,用电子仪器监测追踪并记录转运过程中发射机电磁波信号的变化情况,由此揭示“异态”的某些性质。

1980 年 12 月至 1981 年 3 月,做了十五次实验。在转运过程中,监测电磁波信号强度有大幅度波动,在一段时间内信号完全“消失”或极度减弱,以至监测仪器难以显示;监测电磁波信号强度的变化与试样的转运状态有一定的相关性;并发现了若干异常效应。

为便于了解实验的基本设想和具体过程,我们描述一个典型实验,然后列表简介十五次实验的情况,并综述主要的实验结果。

### (一)微型发射机与监测仪器

1. 微型发射机(见图 1)主要参数列表如下:

型号	f <sub>0</sub> 兆赫	f <sub>0</sub> 赫	K	V <sub>0</sub> 伏	I <sub>0</sub> 毫安	V <sub>s0</sub> 伏	I <sub>s0</sub> 毫安	V <sub>s</sub> 伏	I <sub>s</sub> 毫安	g, 克
I	4.1	800	调幅	6	2.4	4.5	1.1	未测	未测	18.5
I	4.1	600	”	6	5	4	1.4	”	”	32.5
I	4.6	700	”	6	9	2	1	”	”	39.5
N	15	1000	”	6	1.75	2.2	0.65	”	”	37.2
V	155	500	调频	4.5	5.5	3.5	4	2	0.8	24.0
V	155	0	等幅	4.5	12	*带记忆 开关	2	4	24.0	24.5

说明:(1)整机封装于火柴盒内,体积均为 45×38×18 立方毫米;

(2)电源采用 100~120mAh 银锌扣扣电池;

(3)表中符号的含义是:载频 f<sub>0</sub>; 调制音频 f<sub>0</sub>; 调制方式 K; 标准工作状态电源电压 V<sub>0</sub>, 电流 I<sub>0</sub>; 使调制音频振荡器停振时的电源电压 V<sub>s0</sub>, 电流 I<sub>s0</sub>; 使高频振荡器停振时的电源电压 V<sub>s</sub>, 电流 I<sub>s</sub>; 总重量 g;

(4)为保证电路的可靠性,发射机不设可调元件与电源开关,并采用全焊接、弹性紧固、印刷电路板等措施。

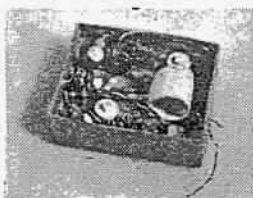


图 1 微型发射机(V型)

电路原理图如下:

I型如图 2:

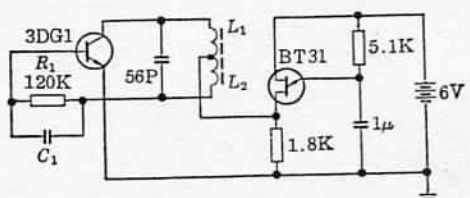


图 2

L<sub>1</sub>: φ0.3 毫米×20 匝  
L<sub>2</sub>: φ0.3 毫米×20 匝  
C<sub>1</sub>: φ0.1 毫米漆包线绕在 R<sub>1</sub> 引线上, 密绕 2 厘米长。

I型如图 3:

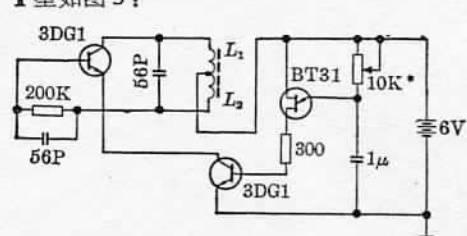


图 3

L<sub>1</sub>: φ0.49 毫米×10 匝  
L<sub>2</sub>: φ0.49 毫米×10 匝  
绕在 φ10 毫米, 长 43 毫米的短波磁棒上。

I型如图4：

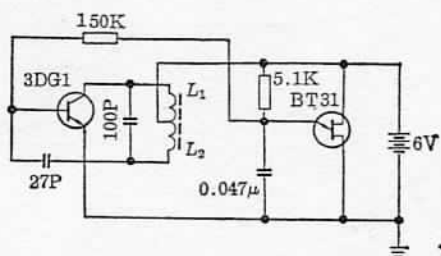


图4

L<sub>1</sub>:  $\phi 0.7 \text{ 毫米} \times 6 \text{ 匝}$  绕在  $\phi 10 \text{ 毫米}$ , 长 60 毫米的  
L<sub>2</sub>:  $\phi 0.7 \text{ 毫米} \times 6 \text{ 匝}$  短波磁棒上。

II型如图5：

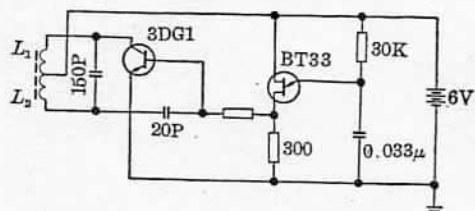


图5

L<sub>1</sub>:  $\phi 1.2 \text{ 毫米} \times 2 \text{ 匝}$  绕在  $\phi 10 \text{ 毫米}$ , 长 60 毫米的  
L<sub>2</sub>:  $\phi 1.2 \text{ 毫米} \times 2 \text{ 匝}$  短波磁棒上。

V型如图6：

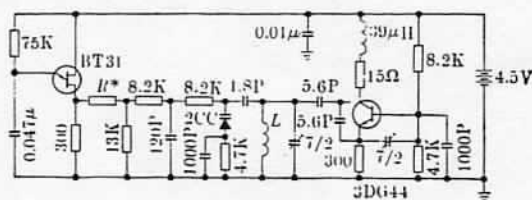


图6

L:  $\phi 1.5 \text{ 毫米} \times 1 \text{ 匝}$  线圈尺寸约  $25 \times 30 \text{ 毫米}^2$ 。

说明：V型发射机在正常工作状态下，是用音频信号调频的。如果音频振荡器（单结管）由于某种原因停振（例如电源电压太低或者切断BT31供电）则变为等幅振荡。

VI型是将V型发射机改为等幅振荡（切断BT31供电），同时加上记忆开关。记忆开关采用SC3201D型触发器改装，只采用了其中的RS触发器，其示意图如图7：

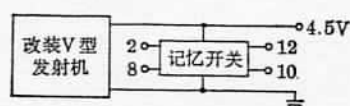


图7

“记忆”原理如下：

① 正常状态：通电时由元件内部结构参数保证12脚处于高电位，10脚处于低电位；

② 人为初始状态：接通电源后用电源电压触一下8脚(置1端)，强制10脚处于高电位，12脚处于低电位；

③ 记忆状态：若不断电，记忆开关保持初态，一旦断电再接通，12脚又处高电位。由此即可判断电路是否断过电。

## 2. 监测仪器：

### ① RR3型干扰场强测量仪(图8)

编号：50395 70598

频率范围：28~500MHz

场强测量范围：

28MHz9dB~110dB (S/N=6dB 0dB=1μ/M)

500MHz35dB~110dB (S/N=6dB 0dB=1μV/M)

监测方式：

采用振子天线，从RR3型场强计的表头指针及度盘指示上可读出监测电磁波信号的强度。(在调谐准确，表头指针居中时，衰减度盘的dB读数可表示监测信号的相对强度。)转运实验过程中，监测人不断读出仪器指示的信号相对强度(dB数)及相应的时间，同时配置录音机录音。

监测范围：

在调谐准确的条件下，采用振子天线，实测RR3型场强计对V、VI型发射机电磁波信号的有效监测半径R>100米(所谓信号“消失”系指在0dB挡没有高于本底噪音的指示)，频率搜索范围28~500MHz。

• 发射机与振子天线相距3米时，信号稳定于40~50dB左右。

### ② WH-771型无线话筒超短波调频接收机(图9)

编号：30135 30217

频率范围：155±0.5MHz(有1MHz频率微调及AFC电路)

监测方式：

采用拉杆天线，并调节频率微调(或配以AFC)进行频率跟踪。

A，从仪器上的场强计表头可直接读出监测电磁波信号的相对强度(0~10<sup>4</sup>)。

B，用喇叭放声监测。当信号“消失”时，场强降

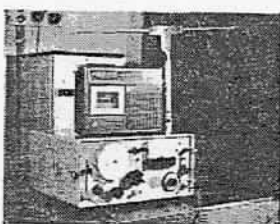


图8

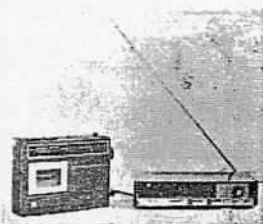


图9

为零，同时噪音大增；当信号“出现”时，或出现音频信号(V型调频)或噪音大大降低(V型等幅)。一旦发射机振荡，即有微音效应。由此便可大致判断监测信号强度变化的情况以及发射机被触动的情况。

C，配置录音机，将B项音频信号实录下来。

#### 监测范围：

在调谐准确的条件下，采用拉杆天线，实测WH-771型接收机对V、V型发射机电磁波信号的有效监测半径R>50米。

·发射机与接收机相距5米时，信号稳定于 $10^3 \sim 10^4$ 。

#### ③ 带短波的收录机

监测方式：调谐准确后，监听音频调制信号并录音。

#### 监测范围：

天 线	发射机型号	监 测 半 径
拉 杆	I	>2.5米
"	II	>5 米
外 接	III	>40 米
"	IV	>40 米

#### (二)典型实验描述

实验编号：No 12.

日期：1981年1月12日晚。

地 点：北京师范学院跃进楼 120.

受试者：小斌。

在场人：林书煌、张崇起、刘惠宜、黄育春、张汉煜、周炳辉、王文华。

试 样：V型微型发射机(在本实验中因电池电压降低，音频振荡器部分已停振，属于等幅振荡型)。

监测仪器：①项1台，即RR3型干扰场强测量仪1台(编号：70598)并配置录音机1台。

②项2台，即WH-771型无线话筒超短波调频接收机2台(编号：30135, 30217)，各配置录音机1台；布局见图10。

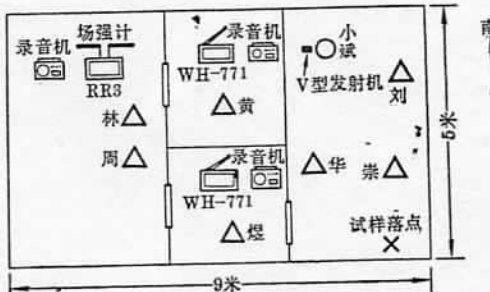


图 10

#### 测试方式：

将试样放进小斌上衣右口袋里，让她用特异功能转运。

实验过程列表简介如下：

时 间	受 试 者 主 诉	试 样 状 态	监 测 电 磁 波 信 号 变 化 情 况	
			幅 度	频 率
8:31'	实验开始，尚无感觉	在小斌右上衣口袋里	稳定于35dB(RR3)	稳定于155MHz
8:39'	感到试样已“丢失”	经检查试样已“丢失”	开始大幅度波动	开始不稳
8:39'~8:45'	感到试样“进入身体”沿“气户→肩膀→脖子→脑”移动，并“停留”于脑中，同时感到浑身麻，脑袋疼，烦躁	试样继续“丢失”	继续大幅度波动，其间多次信号“消失”，持续约几秒至几十秒	时有不稳定的小频偏(约1MHz)现象，监测仪器多次进行频率跟踪
8:45'~9:09'	感到试样已“出脑”，稍觉轻松，但两边“气户”痛	同上	信号一直“消失”	曾在90~200MHz范围内进行频率搜索，未见新的异常信号
9:09'~9:11'20"	无感觉	同上	信号再次出现，并大幅度波动，亦有几次“消失”，峰值降至18dB左右	有小的频移现象，但中心频率仍在155MHz左右
9:11'20"~9:12'	同上	同上	稳定于16dB(RR3)	稳定于155MHz左右
9:12'~9:13'	在仪器监测人发出搜寻试样的指令后，小斌说感到试样在外屋的西北角方向上	9:13' 张崇起根据小斌的主诉在拖布下找到了试样	同 上 (9:12' 仪器监测人林书煌根据信号稳定的特点发出搜寻试样指令)	同 上

试样转运情况：从小斌上衣右口袋转运到室内屋角处的拖布下(见布局图中X的位置)。

主要实验结果：

(1) 监测信号的幅度-时间特性：考查本实验6盘录音带所录监测信号幅度随时间变化的情况，可大致转译为下列曲线(图11)：

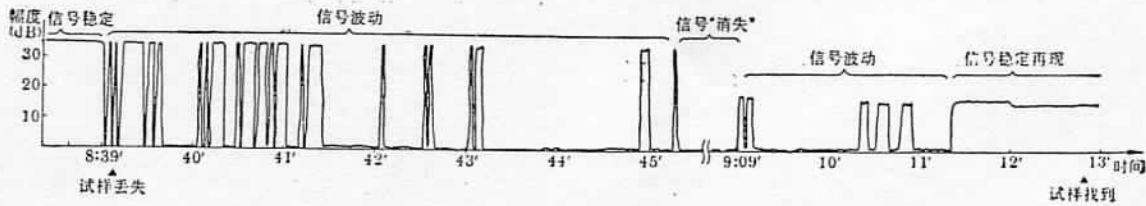


图 11

由曲线可见：转运过程中监测信号强度有脉动式的大幅度波动甚至多次出现信号“消失”的现象，短者1~2秒钟，长者达24分钟。

(2) 监测信号强度的变化情况与试样的转运状态具有一定的相关性。经过对比分析，我们初步认为：当监测信号强度稳定于非零恒定值时，可能对应着试样“有”的状态，即试样没有“丢失”，或者“丢失”后已经“再现”；当监测信号“消失”时，可能对应着试样“无”的状态；当监测信号强度大幅度波动时，可能对应着试样从“有”到“无”，或者从“无”到“有”的过渡阶段。据此，我们有可能做到：通过仪器监测客观地（甚至可先于受试者）判断试样的“丢失”与“再现”，并具有相当的准确性。

### (3) 监测信号的频率-时间特性：

我们之所以特别重视监测信号的频率稳定性考查，原因之一就是监测仪器属于调谐式接收机，如频移严重而接收机又不能及时跟踪，则同样可能造成监测信号强度大幅度的变化。采用RR3型场强计与WH-771型接收机进行频率跟踪的结果表明：

A, 8:39'~8:45'监测信号幅度波动期间，有1MHz左右的不稳定的频率漂移现象。

B, 8:45'~9:09'监测信号“消失”期间，在90~200MHz的大范围内进行频率跟踪搜索，发现在频率为91, 93, 95, 98, 102, 104, 116, 145, 149, 165, 179, 186, 193MHz等有信号，但后来查明均属外来干扰信号，即未见有新的异常信号。

C, 试样“丢失”前与“再现”后，监测信号频率稳定（由于电池电压下降造成的微小频移除外）。总之，实验结果初步表明：监测信号不存在严重的频移现象。

关于实验结果可靠性的初步考查：

鉴于实验现象的特异性，我们认为有必要对实验结果的可靠性作严格的考查。就我们所想到的各种可能，初步考查结果如下：

### (1) 微型发射机的可靠性。

发射机不设可调元件与电源开关，采用印刷电路与弹性紧固，结构可靠。现场摔摔试样多次，工作仍然正常；且转运前、后工作性能亦未见明显异常；经详细检查均未发现能造成发射中断的常规原因（例如

由于机械原因造成的电源断路或短路、电路接触不良等）。

### (2) 仪器监测的可靠性。

对比实验表明：转运前、后仪器对发射机信号的监测是有效的。

频率搜索实验初步表明：转运期间，电磁波信号不存在严重的频移现象。所以应认为仪器所记录的是实测信号强度的变化。

没有充分的理由认为监测仪器恰在转运期间“失灵”（当然并不能完全排除这种可能性）。

### (3) “常人搬运”对比模拟实验。

实验表明：“常人搬运”与“特异转运”的监测信号变化情况完全不同。

A, 在实验现场将试样抛掷、旋转（约5周/秒）、改变方位，监测信号强度、频率均未见明显变化。（注：三台接收机放在不同方位，以分集方式接收。这样，由于发射机天线方向特性引起的信号起伏现象便可以被鉴别出来。实测结果表明：天线的方向性效应并不明显。）只有将试样移至100米以外，监测的信号强度才渐趋（而不是跳变！）为零。

B, 常人用手取试样搬运时，对监测信号的影响，一方面表现为微小的频移（1MHz左右，可能是由人体感应及形变等引起），另一方面是有明显的微音效应。前者不会造成信号完全“消失”的结果，后者恰可成为区分“特异转运”与“常人搬运”的标志之一。

### (三) 实验概况综述

限于篇幅，只能将实验情况列表简介如下。为便于了解表中引用符号含义，特作如下说明：

#### 1. 测试方式：主要分下列两种：

A, 不离体转运：将微型发射机放在受试者身上的衣袋内，让受试者在不动试样的条件下进行特异转运。

B, 离体转运：将微型发射机离体放置于特制木盒内，在受试者一侧加锁加封条，在另一侧采用低照度摄像录像机，摄录监视待转运的微型发射机，然后让受试者在离开木盒的条件下转运发射机。

2. 布局：主要分下列三种（见图12甲、乙、丙）：

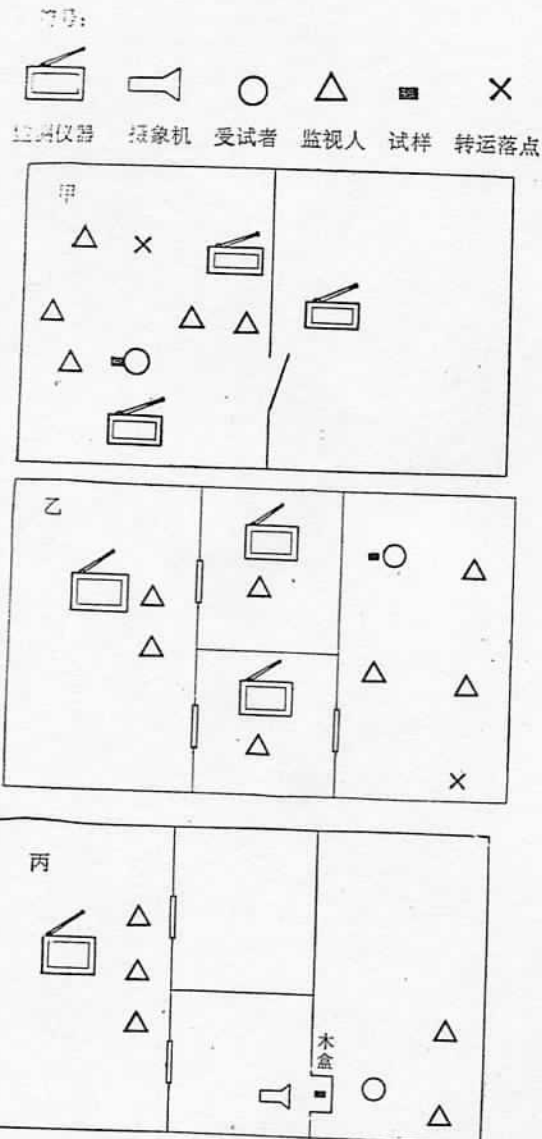


图 12

### 3. 试样转运情况：

- a, 转运到远离受试者的其他在场人身上；
  - b, 转运到远离受试者的室内或室外的某个角落；
  - c, 转运回到受试者身上；
  - d, 转运不成功，但在提取过程中有重要的效应。
4. “提取时间”系指从实验开始到发现试样丢失所用的时间。

“丢失时间”系指从发现试样丢失到找到试样所用的时间。

在上述说明的基础上，并参看前述典型实验，便不难理解下表含义：

编 号	受 试 者	发射 机	测 试 仪 器	方 式	布 局	转 运 情 况	提 取 时 间	丢 失 时 间	监 测 信 号 变 化 情 况
1	斌	I	1台③	A	甲	a	1'	24"	信号波动、消失
2	斌	I	3台③	A	甲	b	7'25"	2'26"	信号未中断
3	斌	I	同上	A	甲	b	4'13"	2'28"	同上
4	斌	I	同上	A	甲	b	9'24"	30"	同上
5	强	I	同上	A	甲	b	2'	9'	信号波动、消失 音频振荡迅速
6	斌	II	2台③	A	甲	a	13'	42'	停止与此同时
7	强	IV	3台③	A	甲	c	56'	4'30"	试样丢失 信号波动、消失
8	斌	III	同上	A	甲	a	1'	1'	信号未中断
9	强	V	①②各1台	A	乙	b	31'	1'30"	信号波动、消失 停振45分钟之
10	强	V	同上	A	乙	d	24'	—	后音频振荡又恢复
11	强	V	1台① 2台②	A	乙	a	35'	1'37"	信号波动、消失
12	斌	V	同上	A	乙	b	8'	34'	同上
13	斌	VII	同上	A	乙	d	35'20"	—	信号波动 记忆开关动作
14	斌	VII	同上	A	乙	b	26'30"	61'	信号波动、消失
15	斌	V	1台②	B	丙	a	30'	—	信号波动

### (四) 主要实验结果综述

综合分析以上十五次实验，可得到下列的初步结果：

1. 在转运过程中，曾出现监测信号强度大幅度波动，甚至在一段时间内信号完全“消失”或极度减弱的现象。

2. 监测信号强度的变化情况与试样的转运状态具有一定的相关性。信号强度“稳定”于零值和非零值，可能与试样的“无”和“有”相对应；信号幅度波动，则可能对应着某种过渡状态，这时我们虽不能据此判断试样的“有”、“无”，但至少可提供一个“先兆”信息。应该说明：在转运过程中，曾出现过监测信号未中断的情况。这类转运很可能是瞬间完成的，所谓“丢失时间”实际上是搜寻的时间。

3. 在转运过程中，监测信号有小的频移，但没有大的频移现象。

4. 在转运过程中，微型发射机的电池电压下降速率，较常态为快：例如：

(1) 第6次实验，在提取试样的13分钟内，新电池组的电压就由6伏迅速下降至4伏（而且很可能是集中发生在最后的十几秒钟内）致使音频振荡频率下降并迅速停振，与此同时试样“丢失”。这种“同步”绝非偶然。现场对比实验表明：在常态下，该电池组连续工作40分钟，未见电压明显下降现象。

(2) 第14次实验，在试样被转运的88分钟内，

新电池组的电压即由 4.5 伏降至 0.2 伏。对比实验表明：在常态下，新电池组连续工作 5 小时，电压才由 4.5 伏降至 2.1 伏。

这类例子较多，似具有普遍性。

#### 5. “提取”过程中的热效应。

在第 10 次实验中发现：因电池电压下降，发射机的音频振荡电路已经停振了 45 分钟之后，又在小强提取发射机的“作用”下，使其音频振荡电路再次起振，且音频频率越来越高。

现场及后来的对比实验都表明：这是一种热效应。主要是，热影响了单结管振荡电路的参数特性，使之能在较低的电压下再次起振；同时，热对电池电压亦有微量影响。

在场人手摸小强的裤袋（放试样处），亦有明显的升温感觉。

#### 6. 转运情况考查：

(1) 提取时间最短的 1 分钟，最长的 56 分钟；丢失时间（包括搜寻时间）最短的 24 秒，最长的 61 分钟；

(2) 试样转运情况，绝大多数属于 a 型或 b 型，即在现场监视的条件下，试样转运后出现在远离受试者的地方或某在场人的身上，甚至转运到受试者在实验过程中没有去过的另一房间内。

## 二、感光实验

实验的基本方法是：取感光材料（照相胶片、印相纸等）作为“转运”试样，放入遮光性能良好的暗袋内。让特异儿童将试样“提取”出暗袋并使之“丢失”一段时间，然后“定向”地使试样“转运”进入另一遮光性能良好的暗袋中。冲洗后，考查试样在转运过程中感光性能的变化，并由此揭示“异态”的某些性质。

1981 年 1 月的实验结果表明：在外界有可见光的通常条件下，感光材料被“转运”的过程中，虽曾一度离开暗袋而“丢失”长达几分钟之久，冲洗后却发现了试样不感光的事例。这是一种奇异现象。现将实验情况简介如下：

#### (一) 实验用品

##### 1. 目标及对照样品：感光材料采用 2# 印相纸。

目标样品：

①号	长 19mm	宽 16mm
②号	长 21mm	宽 12mm

对照样品：

(A)-①	长 37mm	宽 17mm
(B)-①	长 42mm	宽 17mm
①-①	长 24mm	宽 20mm
(A)-②	长 25mm	宽 16mm
(B)-②	长 27mm	宽 17mm

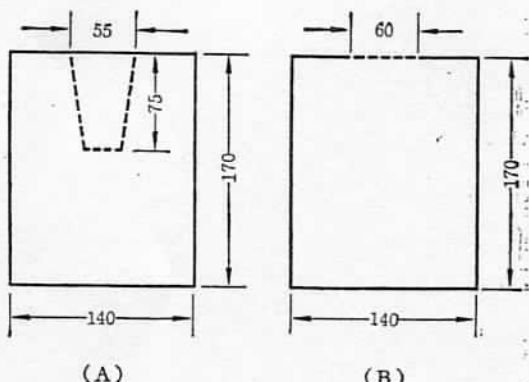


图 13

②-② 长 24mm 宽 20mm

注：(A)-① 表示对应第①号目标样品的暗袋 (A) 中的对照样品，(B)-① 表示与第①号目标对应的暗袋 (B) 中的对照样品，①-① 表示暗盒中与第①号目标对应的对照样品，等等。)

样品封装：

先将样品用胶布固定在与感光片大小相当的塑料石棉基片上（要保证感光面向外），在基片背面贴上胶布，用笔在胶布上做上各种相应标号（如①，②，(A)-① 等等）；

将附有感光片的基片封装在与基片尺寸大小相当的黑纸做的小口袋中，口袋一侧用小刀刻上特定几何形状的小缝（或洞），例如①号样品袋刻上“+”缝，②号样品袋刻有“△”形的洞。这样做的目的是为了一旦感光片感光，便会留下形如“+”和“△”的痕迹；

将装有感光基片的黑纸小口袋，按标号分别装入两个暗袋和一个暗盒中。如将①（或②），(A)-①（或(A)-②）装入(A)袋。将(B)-①（或(B)-②）装入(B)袋，①-①（或②-②）装入暗盒。

以上全部操作均在暗室中完成。

#### 2. 暗袋：

第一种：用双层黑平纹布，中间衬一层包全息干板用的红色遮光锡纸，缝成如图 13 (A) 所示的口袋；

图中虚线所示为一漏斗型小袋，上口与外层布袋出口缝在一起，下口悬在暗袋内。采取上大下小的形状，让样品放入暗袋容易，取出较困难。

第二种：用双层蓝斜纹布缝制如图 13(B) 所示形状的口袋。

#### (二) 实验方法

将两个装好样品的暗袋 (A) 和 (B) 分别用别针固定在两个特异儿童的上衣下部，让挂有 (A) 袋的儿童将 (A) 袋中的目标样品①（或②）转运出来（挂 (B) 袋的儿童协助“提取”）。当样品“提出”后，使之“消失”一

图形种类

明：时间所给是极

可见衰减采用下，

料暗母：

特异转运

件远

即

林说当在那

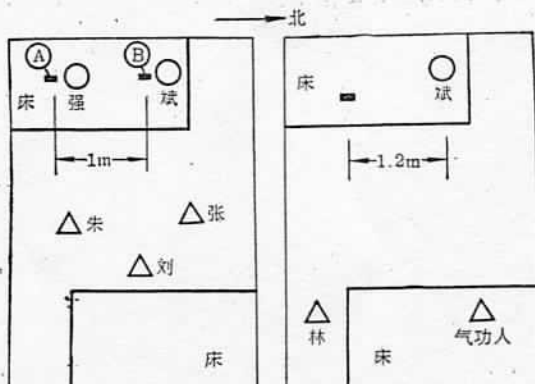


图 14

图 15

地 点：受试者家里。

受 试 者：小强、小斌。

在 场 人：张崇起、刘惠宜、朱美华。

条 件：同第一次。

布 局：同前。

过 程：

19:00' 张将暗袋(B)挂在小斌上衣右下方，将(A)挂在小强上衣右下方，并在(B)袋外加盖一张黑纸。实验开始。

19:45' 小强主诉目标样品已从(A)袋调出，进入小强的“脑子”，张立刻检查(A)、(B)袋，确认目标样品(②号)已从(A)袋调出，且(B)袋内也无目标样品。此时将暗盒打开，取出里面的对照样品在灯下随意晃动曝光。

19:46' 小强主诉目标样品已自“脑中”飞出，在空中“飘荡”，张再次检查(A)、(B)袋，证实目标样品尚未进入(B)袋。

19:51' 小斌说感到目标样品已入(B)袋，张检查时发现②号目标样品并未进入(B)袋，而是落在(B)袋与外面所盖的黑纸夹层中，张迅速将②号样品装入(B)袋。同时将对照样品装入暗盒。

#### (四) 冲洗结果

##### 1. 冲洗条件：

显影液：D72，显影液温度：22°C，显影时间：4分钟。冲洗：自来水冲洗6分钟。定影液：F5，定影液温度：20°C，定影时间：20分钟。冲洗：自来水冲洗5分钟。

##### 2. 结果：

(1) 目标样品①号、②号均未感光；  
(2) 对照样品(A)-①、(B)-①、(A)-②、(B)-②均未感光，表示暗袋遮光性能良好；

段时间两人再协力将目标样品转运入(B)袋。  
整个实验过程除实验人员在场监视外，还要求特异儿童手不能触及暗袋(A)和(B)，也不能用身体的其他部位遮挡暗袋。

当受试儿童主诉目标样品已从(A)袋中调出时，实验人员立刻检查(A)、(B)两袋，待确认(A)、(B)两袋中均无目标样品后，由实验人员立刻取出暗盒中的对照样品，在同一实验环境中随意晃动曝光。

当受试儿童主诉目标样品已进入(B)袋时，由实验人员再次检查(A)、(B)袋，待确定目标样品已进入(B)袋后，再把随机曝光样品放回暗盒，同时记下时间，宣布实验结束。将全部样品袋和盒用黑纸包好，装入遮光纸盒内，以备冲洗。

### (三) 实验过程

#### 第一次实验：

日 期：1981.1.10 下午。

地 点：受试者家里。

受 试 者：小强、小斌。

在 场 人：张崇起、刘惠宜、朱美华。

条 件：已开灯，点有一盏 45 瓦白炽灯，悬在受试对象头部上方约 80 厘米处。房间面积约 10 米<sup>2</sup>。

布 局：如图 14。

过 程：

17:00' 张崇起将暗袋(B)用别针固定在小斌的上衣左下方（并应小斌要求在(B)袋内装入一粒黄豆，由她将黄豆从(B)袋提出并送入(A)袋），将(A)袋挂在小强上衣右下方，让小强将(A)袋中较小的感光片（目标样品①号）提出，送入小斌的(B)袋中。

17:05' 实验开始，此时小强两手抱头，小斌两手交叉在胸前，背靠墙而坐。

17:5'15" 小强主诉目标样品①号已从(A)袋中提出，进入自己的“脑子”。张立刻检查(A)、(B)两袋，证实①号目标不在(A)、(B)袋内。这时打开暗盒，取出对照样品在室内灯光下随意晃动。

17:07' 小强主诉样品已从“脑子”中飞出，在她与小斌之间的空间“飘动”。小斌也主诉看到“样品”在空间“飘动”。

17:10' 小强和小斌几乎同时说目标样品①号已进入(B)袋，张立刻检查两个暗袋，发现目标①号已进入(B)袋约 5 厘米深。张将随意晃光对照样品收入暗盒内。

#### 第二次实验：

日 期：1981.1.16 晚。

(3)对照样品①—①、②—②均有高反差的感光图形，表示在相同照度与相同曝光时间的条件下，同种类型的感光材料，应该感光；

(4)“模拟作弊”对照样品(2#印相纸)冲洗结果表明：在同样的照度条件下，只要有0.5秒左右的曝光时间，印相纸即有明显的感光效应。可见，受试者在所给实验条件下要想作弊而又使印相纸完全不感光，是极为困难的。

### 3. 对结果的初步分析：

根据上述“不感光”的事例，我们初步的看法是：可见光对处于“异态”的感光材料的作用，似乎大大地衰减，以至出现了“不感光”的事例。至少是对于我们采用的2#印相纸这种感光材料，在所描述的实验条件下，没有产生可觉察的感光效应。

## 三、突破空间物理障碍的实验

实验的基本方法是：将金属螺母放入135胶卷塑料暗盒内，盒盖中心打一小孔，让受试者将大物（螺母）通过小孔“转运”出来。

1981年2月我们做了三次实验，结果表明：某些特异功能少年儿童确能实现突破空间物理障碍的特异转运。简况如下：

### 第一次实验

日期：1981年2月7日下午

地点：受试者家里。

受试者：小斌。

在场人：林书煌、气功人×××

试样：将M3带标记的螺母放入135胶卷塑料暗盒内，盒盖中心打一Φ1.5mm小孔。

布局：见图15。

### 实验过程：

(1)4:59'在小斌与气功人×××均已坐定的条件下，林书煌将事先检查过的试样，放在距小斌1.2米远处的床上，实验开始。

(2)5:01'小斌问×××：“你感觉怎么样了？”×××说：“快了。”

(3)5:05'小斌说感到螺母已经出来了，林书煌当即检查试样暗盒，M3螺母确已“丢失”。

(4)5:06'小斌问林书煌：“我让螺母进哪兜啊？”林说：“随便放到哪，就进你自己的兜吧！”这时×××说他感到螺母已经落下来了，进了小斌的口袋里。林当即要去检查小斌的上衣右口袋，×××马上说：“不在右边口袋里，在左边。”林一查小斌的上衣左口袋，那个带标记的M3螺母确实已经在里面了。

实验全过程，在林书煌与×××的严密监视下，

小斌始终没有挪动过地方，更没有接触过试样暗盒。

气功人×××主诉：

(1)5:05'左右×××感到从小斌脑部向斜上方(约45°)发出多束白光，发到很远的地方。这正是小斌感到螺母“丢失”的时刻。

(2)5:06'左右，林刚一让小斌将螺母放到她自己的口袋里时，×××就感到有一束白光从远处回到小斌上衣左口袋里。

### 第二次实验

日期：1981年2月11日晚。

地点：北京师范学院招待所202房间。

受试者：小华。

试样：将一根火柴棍(有特殊标记)、一根钉子、一个M3螺母(有特殊标记)，放入135胶卷塑料暗盒内，在盒盖中心打一Φ3.5mm小孔，加盖后用薄纸条封装并做特殊标记，以确保实验的可靠性。

封装试样时的在场人：林书煌、张崇起、刘惠宜、王冠友。

### 实验过程：

(1)11日晚9:30'左右，林书煌、张崇起、刘惠宜、王冠友四人将试样面交小华，让她自己去“转运”。并说明只要实验成功后封条及其标记完好，即承认其实验结果。

(2)11日晚10:30'左右，小华躺在床上手拿试样开始做实验，但很快就入睡了。

(3)12日早8:40'在北京师院招待所202房间，林书煌、王冠友问小华实验情况如何？她说：“昨天晚上做实验的时候，火柴棍、螺母、钉子都在脑中闪过，而且到处乱飞，好象钉子还扎在什么东西上了。”林书煌、王冠友当即让小华把试样暗盒拿来，当面检查封条及标记均完好，表明实验结果有效。开封后发现：

A，M3螺母“丢失”(即已突破空间物理障碍)；

B，火柴棍折断；

C，钉子扎入折断的火柴棍中。

当即请小华寻找“丢失”的螺母，但没有找到。

### 第三次实验

日期：1981年2月22日中午。

地点：受试者家里。

受试者：小强。

在场人：王文华。

试样：将M5螺母放入135胶卷塑料暗盒内，盒盖中心打一Φ1.5mm小孔，加盖后用薄纸条封装，并做特殊标记。



图 16



图 17

参加封装试样的人是林书煌、刘惠宜、张崇起。  
实验过程：

(1) 1:00' 左右，王文华将试样放入小强上衣右口袋，实验开始。

(2) 1:35' 左右，小强感到心里往下一沉。王文华拿出试样暗盒一检查，M5 螺母已无，接着发现 M5 螺母在小强上衣右口袋里。后经林书煌、张崇起、刘惠宜检查试样暗盒的封条完好。(见图 16)

转运过程能够突破空间物理障碍(即大物通过小孔转运出来)，表明这种特异转运似乎不是三维空间里的简单的机械搬运过程(当然不排除通过复杂操作程序使大物转运出来的可能性)。这是我们相信可能存在“异态”的主要实验依据之一。

#### 四、关于“异态”内部 若干过程的考查结果

实验的基本方法是：取机械表、电子表、昆虫等作为转运试样，使之“丢失”一段时间然后“再现”，考查处于“异态”的物质的内部若干物理、生命过程的特性。

1980 年 12 月～1981 年 3 月期间我们所做的实验表明：物质处于“异态”时，其机械运动、生命过程等似乎仍在进行，并没有停止。现将实验简介如下：

##### (一) 转运机械表实验

这种实验做过两次，结果表明：转运过程中“丢

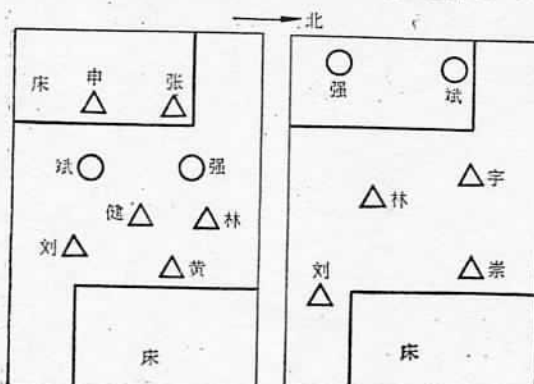


图 18

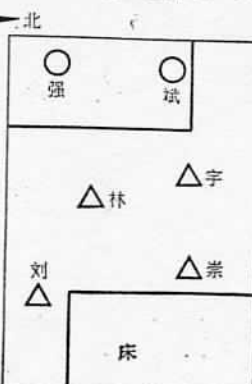


图 19

失”了几十分钟的机械表，当其“再现”时，与实验现场的对照表走时仍然一致，未观察到时差。

现简述第一次实验的情况。

日期：1980 年 12 月 18 日下午。

地点：受试者家里。

在场人：张崇起、申先甲、林书煌、黄育春、  
刘惠宜、王健。

受试者：小强、小斌。

试样：机械小坤表一块(图 17)，电子表一块，带标记的小铝片一块，放入特制  $9 \times 19 \text{ cm}^2$  条形布袋内。

布局：见图 18。

测试方式：将试样布袋用别针固定在小强上衣左口袋处，而小斌上衣右口袋处别着一个透明的空塑料袋，让小强、小斌协力将试样转运出布袋。

实验过程：

(1) 5:45' 实验开始(开始前机械表、电子表均已与对照表校准)。

(2) 5:48'7" 小斌说感到小铝片已“进入”小强的脑中，小强亦感知，刘惠宜检查小强的布袋，小铝片已无。

(3) 5:49'46" 小强说小铝片“已出”她的脑子，形成一个白色的“气团”位于小强、小斌之间。但在场人看不见，摸不着。

(4) 5:54' 小强感到小坤表已“进入”她脑中，刘惠宜当即检查小强的布袋，坤表已无。林书煌从布袋中取出电子表，与对照表比较，发现电子表在 9 分钟内慢了 7 分半钟。(注：林书煌从这时刻之后继续带着这块电子表，连续 12 小时，未见走时再有任何异常。)

(5) 6:19' 小斌说感到口袋里“发沉”，经林书煌检查，小铝片已出现在她上衣右口袋内。

(6) 6:24'43" 小强感到小坤表已经进她左裤袋里了。刘惠宜当即检查属实。取出坤表与对照表比较，发现坤表虽然“丢失”了 30'43"，但走时仍然准确。

实验结果的可靠性：

(1) 采用特制布袋，口窄(9 厘米)、袋深(19 厘米)，袋口中间又有别针，在现场人严密监视的条件下，受试者极难作弊。

(2) 基于电子表拨表手续的繁复性，“电子表变慢”这一效应具有相当的可靠性。这一效应曾重复出现，更可确证其可靠性。

注：第二次实验，坤表“丢失”长达 76 分钟，“再现”后走时仍然准确。

##### (二) 转运昆虫实验

这种实验做过两次。结果表明：在转运过程中“丢失”了一段时间的昆虫，当其“再现”后仍然活着，